

изменению интенсивности р.э. спектров для исследования кинетики начальных стадий окисления металлов. Возможность простого анализа может быть определена применимостью уравнения (3) в широком диапазоне экспозиций. Графическим критерием неизменности  $\lambda$  может служить линейная зависимость интегральных интенсивностей р.э. спектров металла от интегральной интенсивности линии O1s, угол наклона при этом должен соответствовать отношению сечений ионизации рассматриваемого уровня металла и линии O1s.

Институт физической химии  
Академии наук СССР, Москва

Поступило  
9 IV 1979

## ЛИТЕРАТУРА

- <sup>1</sup> К. Зигбан и др., Электронная спектроскопия, М., "Мир", 1971. <sup>2</sup> В.И. Нefедов, Применение рентгенэлектронной спектроскопии в химии. Строение молекул и хим. связь. Итоги науки и техники, М., 1973. <sup>3</sup> T.A. Carlson, G.E. Meguire, J. Electron. Spectr., v. 1, 2, 161 (1973).  
<sup>4</sup> В.В. Немошканенко, В.Г. Алешин, Электронная спектроскопия кристаллов, Киев, "Наукова думка", 1976, стр. 40. <sup>5</sup> W.J. Carter, G.K. Schweitzer, J. Electron. Spectr., v. 5, 827 (1974).  
<sup>6</sup> J.Olefford, Corrosion Sci., v. 15, 11, 12, 690 (1975). <sup>7</sup> В.И. Нefедов, Д. Гати и др., ЖХХ, т. 20, 2307 (1975). <sup>8</sup> R.V. Jajner, M.W. Robertson, Chem. Phys. Lett., v. 28, 2, 246 (1947). <sup>9</sup> C.L. Leugraf, S. Ekelund, G. Schon, Scand. J. Metall., v. 2, 316 (1973). <sup>10</sup> В.И. Савченко, ДАН, т. 208, № 5, 1154 (1973).

УДК 541.44

ФИЗИЧЕСКАЯ ХИМИЯ

В.Е. АНТОНОВ, И.Т. БЕЛАШ, Е.Г. ПОНЯТОВСКИЙ

## ФАЗОВАЯ $T$ - $P$ -ДИАГРАММА СИСТЕМЫ Mo-H ПРИ ТЕМПЕРАТУРАХ ДО 500 °C И ДАВЛЕНИЯХ ДО 50 КБАР

(Представлено академиком Г.В. Курдюмовым 18 IV 1979)

Гидрид молибдена впервые получен при взаимодействии металла с молекулярным водородом при  $T = 350$  °C и  $P_{H_2} = 35 \pm 5$  кбар (<sup>1</sup>). Образование гидрида молибдена происходит путем превращения фазы  $\alpha$  с о.ц.к. решеткой металла в фазу  $\epsilon$  с г.п.у. решеткой. Гидрид имеет состав, близкий к стехиометрии MoH. При атмосферном давлении  $\epsilon$ -фаза разлагается на металл и молекулярный водород при  $T > -55$  °C.

В данной работе изучены температурные зависимости давлений образования и разложения гидрида молибдена. Исследование проводилось резистометрическим методом на образцах из поликристаллической фольги молибдена МЧ-2 размером  $4 \times 1,5 \times 0,05$  мм. Точность определения давления в процессе его повышения составляла  $\pm 3$  кбар, при понижении  $\pm 4$  кбар. Для измерения температуры использовалась термопара хромель-алюминель, изолированная от воздействия водорода; погрешность измерения не превышала  $\pm 15$  °. В процессе измерения температура поддерживалась постоянной с точностью  $\pm 2$  °. Поправки к показаниям термопары из-за воздействия высокого давления не учитывались.

Исследования проводили как в процессе ступенчатого изменения давления при постоянной температуре, так и при ступенчатом повышении температуры в изобарических условиях. Каждый раз при фиксированных  $T$  и  $P_{H_2}$ , образец выдерживали до прекращения временного дрейфа электросопротивления, появлявшего-

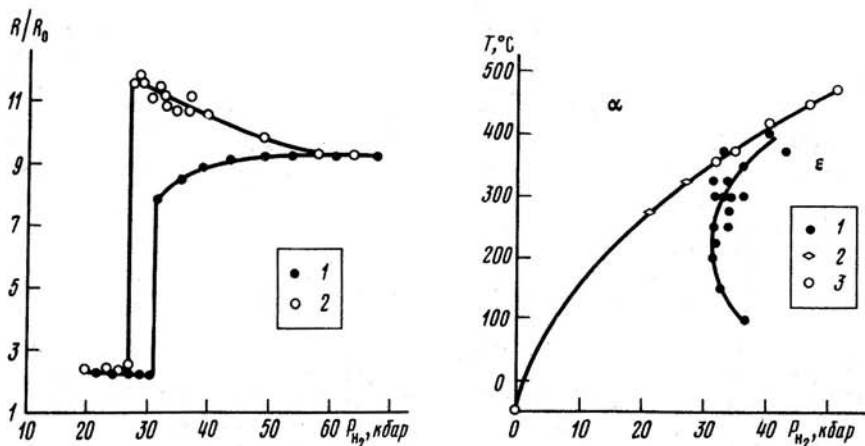


Рис. 1. Изотермы электросопротивления молибдена в атмосфере водорода при  $T = 325^{\circ}\text{C}$ . 1 – при повышении давления; 2 – при понижении.  $R_0$  – сопротивление образца при атмосферном давлении и комнатной температуре

Рис. 2. Фазовая  $T$ - $P_{\text{H}_2}$ -диаграмма системы Mo–H. 1 – точки  $\alpha \rightarrow \epsilon$ -перехода,  $T = \text{const}$ ; 2 –  $\epsilon \rightarrow \alpha$ -перехода,  $T = \text{const}$ ; 3 –  $\epsilon \rightarrow \alpha$ -перехода,  $P_{\text{H}_2} = \text{const}$

ся вследствие диффузионного характера образования твердого  $\epsilon$ -раствора Mo–H, и на график наносили конечное значение  $R$ .

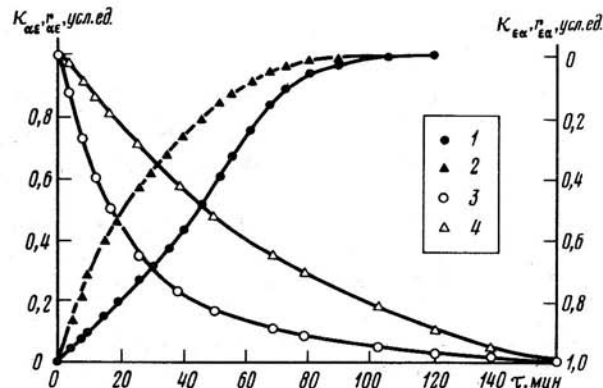
На рис. 1 приведены изотермы электросопротивления молибдена, снятые в атмосфере водорода при  $T = 325^{\circ}\text{C}$ . При  $P_{\text{H}_2} < 31$  кбар сопротивление образца линейно понижается с давлением примерно с тем же наклоном, что и в инертной среде. Дрейфа сопротивления при фиксированных  $T$  и  $P_{\text{H}_2}$ , после изменения давления отмечено не было. Таким образом, в согласии с данными <sup>(1)</sup>, растворимость водорода в  $\alpha$ -фазе системы Mo–H, по-видимому, мала. При  $P_{\text{H}_2} = 31,3$  кбар сопротивление образца возрастает вследствие превращения  $\alpha \rightarrow \epsilon$ ; при дальнейшем повышении давления сопротивление продолжает монотонно увеличиваться, вероятно, вследствие увеличения концентрации водорода в  $\epsilon$ -фазе.

Как видно из рис. 1, поведение изотермы  $R(P_{\text{H}_2})$  при понижении давления в области устойчивости гидрида заметно отличается от ее поведения в случае, когда давление повышается. Различия и кинетика достижения  $\epsilon$ -раствором Mo–H равновесной концентрации. При  $T = 325^{\circ}\text{C}$  увеличение давления водорода вблизи давления  $\alpha \rightarrow \epsilon$ -перехода приводит к дрейфу сопротивления при фиксированном  $P_{\text{H}_2}$  в течение  $\sim 30$  мин; это время сокращается до  $\sim 5$  мин при  $P_{\text{H}_2} = 67$  кбар. В процессе понижения давления вплоть до начала  $\epsilon \rightarrow \alpha$ -перехода аналогичный дрейф сопротивления продолжается не более 10 мин. Из рис. 1 также видно, что при понижении давления на фоне монотонного возрастания сопротивления гидрида молибдена происходят и его беспорядочные изменения. Характерное время этих изменений – порядка нескольких секунд после уменьшения давления. Происхождение наблюдаемого эффекта неясно. Как только начинается  $\epsilon \rightarrow \alpha$ -переход, эти колебания сопротивления прекращаются, а по окончании перехода, как видно из рис. 1, сопротивление образца возвращается к значению, которое оно имело до образования гидрида.

Изотермы электросопротивления образцов Mo–H при других температурах выглядят аналогично. На изобарах разложение гидрида сопровождается примерно таким же скачком сопротивления, что и на изотермах. Полученные кривые превращений  $\alpha \rightarrow \epsilon$  и  $\epsilon \rightarrow \alpha$  приведены на рис. 2. Изображенная на рисунке фазовая  $T$ - $P_{\text{H}_2}$ -диаграмма системы Mo–H аналогична изученной ранее <sup>(2)</sup> диаграмме си-

Рис. 3. Зависимости электросопротивления  $r$  и относительного содержания новой фазы в образце  $\kappa$  от времени при  $T = 325^\circ\text{C}$ . 1, 2 —  $r_{\alpha\epsilon}$  и  $\kappa_{\alpha\epsilon}$  при переходе  $\alpha \rightarrow \epsilon$ ; 3, 4 —  $r_{\epsilon\alpha}$  и  $\kappa_{\epsilon\alpha}$  при переходе  $\epsilon \rightarrow \alpha$  ( $r = \frac{R - R_c}{R_h - R_c}$ ;  $\kappa = \frac{r_h}{R}$ ).

$R_h$  и  $R_c$  — сопротивления новой и старой фаз



стемы Сг—Н. Этого и следовало ожидать ввиду близости свойств данных систем<sup>(1)</sup>: молибден расположен непосредственно под хромом в таблице Менделеева; образование гидрида молибдена, как и гидрида хрома, происходит путем превращения фазы с о.ц.к. решеткой металла в фазу с г.п.у. решеткой и сопровождается примерно тем же объемным эффектом ( $\Delta V_{\text{Mo}} = V_{\text{Мон}} - V_{\text{Mo}} \approx 0,2 V_{\text{Mo}}$ ;  $\Delta V_{\text{Cr}} \approx 0,19 V_{\text{Cr}}$ ).

Остановимся на кинетике образования и разложения гидрида молибдена. Дрейф сопротивления, сопровождающий  $\alpha \rightarrow \epsilon$ -переход, продолжается в течение  $\Delta\tau_{\alpha\epsilon} \sim 1$  ч при  $400^\circ\text{C}$ ,  $\sim 2,5$  ч при  $250^\circ$  и  $\sim 1$  суток при  $100^\circ$ . Переход  $\epsilon \rightarrow \alpha$  заканчивается за  $\Delta\tau_{\epsilon\alpha} \sim 20$  мин при  $450^\circ$ , а при  $275^\circ$  это время растягивается на  $\sim 3$  часа. Типичные кривые временного дрейфа сопротивления образцов при переходах  $\alpha \rightarrow \epsilon$  и  $\epsilon \rightarrow \alpha$  приведены на рис. 3 для  $T = 325^\circ\text{C}$ . На рисунке изображены также временные зависимости относительного содержания новой фазы  $\kappa$  при этих переходах, рассчитанные по кривым  $R(\tau)$  в предположении, что в системе Mo—Н, как и в Ni—Н<sup>(3)</sup>, граница раздела фаз является плоскостью, движущейся внутрь образца параллельно его поверхности. Для перехода  $\alpha \rightarrow \epsilon$  это предположение, по-видимому, близко к действительности, поскольку рассчитанная кривая  $\kappa_{\alpha\epsilon}(\tau)$  имеет вид, аналогичный виду экспериментальных кривых степени разложения гидрида молибдена при атмосферном давлении<sup>(1)</sup>. Справедливость такого предположения для описания перехода  $\epsilon \rightarrow \alpha$  представляется более проблематичной. Например, изучение рентгенограмм разложения растворов водорода в кобальте<sup>(4)</sup> и в инварных сплавах железо-никель<sup>(5)</sup>, а также исследование процесса распада гидрида никеля<sup>(6)</sup> приводят к заключению, что при атмосферном давлении более вероятно выделение частиц новой фазы в виде зерен. Во всяком случае, поскольку  $\kappa$  дает количество новой фазы, когда области новой и старой фаз включены в измерительную цепь параллельно, а  $r$  (относительная величина скачка сопротивления при переходе) — когда эти области включены последовательно, можно быть уверенным, что реальная кривая относительного количества новой фазы лежит между кривыми  $\kappa$  и  $r$  (см. рис. 1).

Авторы благодарят А.И. Амелина за помощь в подготовке экспериментов.

Институт физики твердого тела  
Академии наук СССР, Черноголовка Московской обл.

Поступило  
19 IV 1979

#### ЛИТЕРАТУРА

- <sup>1</sup> И.Т. Белаш, В.Е. Антонов, Е.Г. Понятовский, ДАН, т. 235, 379 (1977). <sup>2</sup> И.Т. Белаш, Е.Г. Понятовский, ДАН, т. 229, 1171 (1976). <sup>3</sup> H.J. Bauer, M. Becker et al., Phys. Status Solidi (a), v. 47, 445 (1978). <sup>4</sup> И.Т. Белаш, В.Е. Антонов, Е.Г. Понятовский, ДАН, т. 235, 128 (1977). <sup>5</sup> Е.Г. Понятовский, В.Е. Антонов, И.Т. Белаш, ФТТ, т. 18, 3661 (1976). <sup>6</sup> D. Jönnitz, H.J. Bauer, Zs. Naturforsch., B, 33a, 1599 (1978).